

最適化手法を用いた耐震設計の信頼性レベルに関する一考察

京都大学工学部 正員 山田善一
 京都大学工学部 正員 ○古川浩平
 広島県 正員 福原真爾

1. まえがき

構造物の設計において最も重要な要因は、信頼性と経済性であろう。しかしこの2つの要因は互いに相反する性質をもつ。信頼性を高くするためには、構造物のコストを上げざるをえず、逆に経済性を高めるためにコストを下げれば、信頼性も低くなるのが普通である。このジレンマに対して、一つの解答を与えようとするのは、近々盛んに利用される最適化の手法を応用することであろう。最適化の手法を用いることにより、はじめからある種の条件の下で、信頼性と経済性のバランスがとれた構造物の設計が可能であると考えられる。

構造物は一般に大自然の中に置かれ、断え向なる苛酷な外力にさらされる。そのために構造物のコストを考える場合、初期建設費だけでなく、構造物が破壊、あるいは破壊することもある。その修理費、再建設費さらにはその構造物が損傷したための経済的損失などを考える必要がある、このような場合、その構造物の信頼性をどの程度に考えよければ良い設計ができるのかという問題が生ずる。この問題は構造物を設計する上で最も重要な困難な問題であろう。(しかしこの問題も最適化手法を応用することにより、その最適な信頼性レベルを求めよることが可能である。

本研究で対象とするのは、耐震設計に限られる。耐震設計は大きな不確実性をもつ地震動を外力としてとらえ、一般にかなりの余裕をもつて設計がなされることと見られる。最適化の観点から見直すことにより、より合理的な設計を行なうことが可能であろう。地震外力は本来不規則現象であり、この取り扱いも当然確率論的になされべきである。外力を確率論的に取り扱った場合、その応答も確率論的に取り扱われざるを得ない。本研究においては、入力地震動のパワースペクトル密度を設定し、不規則振動解析が動的信頼性理論より構造物の破壊率を求め、構造物の初期建設費と破壊による損失の和が最小になるように最適化を行ない、その結果から耐震設計における最適な信頼性レベルに関する考察を加えたものである。

2. 破壊による損失を考慮した最適耐震設計の定式化

構造物が破壊あるいは破壊した時の費用を考慮した時の総コスト C_T は、

$$C_T = C_I + C_F \tag{1}$$

ここに、 C_I : 初期建設費、 C_F : 破壊による損失を表わすこととできる、いま破壊あるいは破壊時の修理費と再建設費の比を破壊率 (Damage Ratio D_r) と定義すれば、 C_F は破壊率の期待値と再建設費の積と表わされる。この破壊率を構造物の最大応答 r の関数として、図-1のように仮定する。すなわち、

$$D_r(r) = \begin{cases} 0 & (r < r_a) \\ \left(\frac{r-r_a}{r_e-r_a}\right)^{\nu} & (r_a \leq r \leq r_e) \\ 1 & (r_e < r) \end{cases} \tag{2}$$

ここに、 r_a : 許容限界値、 r_e : 崩壊限界値、 ν : 構造物の強度特性による定数、である。構造物の最大応答値の確率分布 $F(r)$ は応答の初期超過の問題から推定できよから、破壊率 D_r の期待値 \bar{D}_r は、

$$\bar{D}_r(r) = \int_{r_a}^{r_e} \left(\frac{r-r_a}{r_e-r_a}\right)^{\nu} \frac{d}{dr} F(r) dr + \int_{r_e}^{\infty} \frac{d}{dr} F(r) dr \tag{3}$$

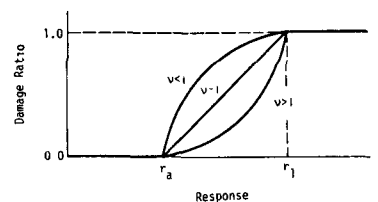


図-1 破壊率関数

として求めることが出来る。多自由度系構造物の運動方程式は次のように表現される。

$$M \ddot{x} + C \dot{x} + Kx = -M \ddot{z} \quad (4)$$

ここに、 M :質量マトリックス、 C :減衰マトリックス、 K :剛性マトリックス、 x :変位ベクトル、 z :地震動の加速度ベクトル、である。式(4)を表現される系に、平均値が δ の自乗平均パワースペクトル密度関数 $S_F(\omega)$ をもつ定常確率過程 $z(t)$ が作用した時、構造物は確定系であるとすると、その変位分散 σ_x^2 、速度分散 $\sigma_{\dot{x}}^2$ は、

$$\sigma_x^2 = \sum_i \phi_i^2 T_i^2 \int_{-\infty}^{\infty} |H_i(\omega)|^2 S_F(\omega) d\omega \quad (5)$$

$$\sigma_{\dot{x}}^2 = \sum_i \phi_i^2 T_i^2 \int_{-\infty}^{\infty} \omega^2 |H_i(\omega)|^2 S_F(\omega) d\omega \quad (6)$$

となる²⁾。ここに、 ϕ_i : i 次モード、 T_i : i 次の刺激係数、 $H_i(\omega)$: i 次の周波数応答関数、である。この時最大応答の限界値入の初期超過ポアソン過程に従うと仮定すれば、その要素の初期超過確率は、

$$F_e(\lambda) = 1 - \exp \left\{ -\frac{T}{\pi} \frac{\sigma_{\dot{x}}}{\sigma_x} \exp \left(-\frac{\lambda^2}{2\sigma_x^2} \right) \right\} \quad (7)$$

と表現される。系を weakest-link-type システムとすれば、構造物全体では、

$$F(\lambda) = \prod_j F_{e_j}(\lambda) \quad (8)$$

となる。式(8)を λ を変数とみなせば最大応答の確率分布を与えよから、結局目的関数である式(1)は、

$$C_T = C_I + C_R \cdot \left\{ \int_{r_a}^{r_b} \left(\frac{r-r_a}{r_b-r_a} \right)^{\nu} dF(r) dr + \int_{r_b}^{\infty} dF(r) dr \right\} \quad (9)$$

と表わされる。ここに、 C_R は再建設費であり、構造物が破壊あるいは破壊した時、その修理や再建設に要する費用だけでなく、修理期間中その構造物を使用できなから、経済的損失が伴う。(しかしこの経済的損失は構造物の重要度にも、大きく異なり、実際上見積りはむづかしい。そこでこれらの経済的損失なども含めて再建設費を考えると、つまり

$$C_R = \alpha \cdot C_I \quad (10)$$

と12、 C_R を損失率(Loss Ratio) α と初期建設費の積として表わし、 α を12幾種類かの値を代入するにすると、2. 構造物の重要度に応じて経済的損失の効果も考慮する。すなわち、最終的目的関数は、

$$C_T = C_I + \bar{D}_r \cdot \alpha \cdot C_I \quad (11)$$

と表現される。この式(11)の最小化を行なうことにあり、破壊率の最適値も求めることとなる。式(11)は非線形になり、かつ微分するにむづかしい形となり、2. 最適化の手法として、微分する必要がなく、global な最適解に収束する可能性が最も大きいとされるこのPenellの直接探索法を用いた!!! M が最適と2. 考えると考えられ、これを α で最適化を行なう、³⁾

3. 数値計算例および考察

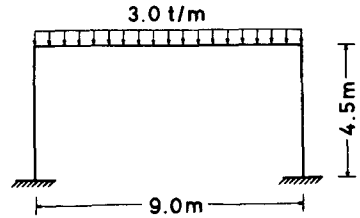


図-2 1スパン1層ラーメン

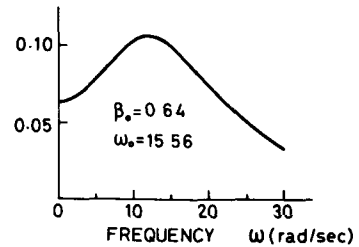


図-3 パワースペクトル密度関数 (フィルタードホワイトノイズ)

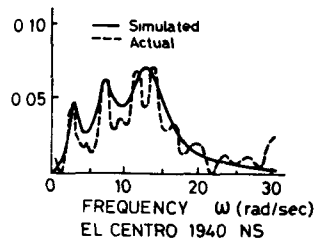


図-4 パワースペクトル密度関数 (El Centro 1940 NS)

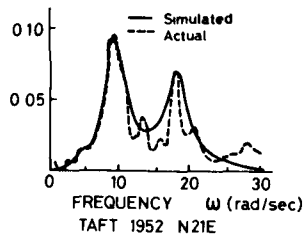


図-5 パワースペクトル密度関数 (Taft 1952 N21E)

3.1 1スパン1層ラウメンにおける計算例

図-2に示す1スパン1層ラウメンに対し、図-3~図-5に示すパワースペクトル密度関数を入力し計算を行なった。計算に際し、設計変数として柱と梁の断面2次元要素を考え、他の変数は断面2次元要素の関数として求めた。破壊モードとしては、各境点の繰応力とラウメン頂点の変位をとった。これらの繰応力や変位の許容限界値 σ_a や崩壊限界値 σ_b の値として、次のケース1もケース2の2つの場合を考えた。ケース1の場合、鋼材としてSS41を用いたものとし、 $\sigma_a = 14000 \text{ ton/m}^2$ 、 $\sigma_b = 23000 \text{ ton/m}^2$ を用いた。変位はラウメン高さの $1/300$ を許容限界値とし、 $\chi_a = 0.015 \text{ m}$ を用いた。 χ_b に関しては何ら規定がなされていない場合と同様に考え、 $\sigma_b/\sigma_a = 1.64$ なる値はこれと同じにするより $\chi_b = 0.025 \text{ m}$ を用いた。ケース2の場合は鋼材としてSM58を用いた。 $\sigma_a = 26000 \text{ ton/m}^2$ 、 $\sigma_b = 46000 \text{ ton/m}^2$ 、変位はケース1の2倍とし、 $\chi_a = 0.03 \text{ m}$ 、 $\chi_b = 0.05 \text{ m}$ とした。入力加速度の最大値の期待値はそれぞれ 180 gal に統一して用いた。また図-1に示す破壊率関数の α の値は2を用いた。このような条件下で最適化を行なった結果を図-6に示す。なお最適化においては、目的関数として柱と梁の鋼材の総重量を用いた。図中、○印がケース1の場合であり、×印がケース2の場合である。図-6は結果の比較がしやすいように、図-3~図-5に示す3種のスペクトルを入力した結果を左から順に、また上から順に目的関数および総重量、破壊率 D_r 、損失率と破壊率の積 $\alpha \times D_r$ を x 軸に描いてある。

図-6の左はフィルタードホワイトノイズを入力した場合であり、最大応答に対する限界値が大きく異なっており、目的関数および総重量はケース1の方がケース2より1.4倍余り大きい。総重量は損失率 α が大きくなるに従って大きくなり、 $\alpha = 10$ の場合、 $\alpha = 2$ の場合より5%前後大きくなり、つまり、破壊率 D_r は α の増加に従って減少し、 α と D_r の積は3~4%ほどほとんど一定である。 α の増加に伴って構造物断面が大きくなり、 D_r は減少、総重量は増加し、全体として最適な構造物が設計される。最適解における構造物の1次固有円振動数 ω_1 はケース1の場合12.5~13.0 rad/secで図-3のスペクトルのピークの位置に当たり、ケース2は8.5~9.1 rad/secでスペクトルのピークからずれる。両ケースの差は大きくなり、右もこのように、両ケースは限界値の差が大きい(応力、変位共に約2倍)にもかかわらず $\alpha \times D_r$ の値はほぼ一定であり、限界値の大小にかかわらず α の値に応じた最適破壊率 D_r の設定が可能であると思われる。最適化においては、初期値の $\omega_1 = 22 \text{ rad/sec}$ からSUMTにより、2 $\omega_1 = 39 \text{ rad/sec}$ まで断面が大きくなり、その後順次断面が小さくなり、2最適解に収束しており、こういった問題に対して本研究所で用いたSUMTは有効な機能していることがわかる。図-6の中央はEl Centroの場合であり、限界値は他の条件は上と同様であり、結果に関してもほとんど同じ考察ができる。ケース1、2の総重量の差は小さい。また、 D_r 、 $\alpha \times D_r$ の値はほとんど同じなのは、最適解の ω_1 がケース1で11.4~11.8 rad/sec、ケース2で9.0~9.3 rad/secとなり、この時スペクトルの値はほとんど同じになるからであろう。図-6の右端はTaftの場合であり、これに関しても上と同じ考察ができる。このように入力のパワースペクトル特性により、最適解は当然異なるが、限界値の値、損失率 α の大小にかかわらず $\alpha \times D_r$ の値はほぼ一定であり、この例では数%程度である。このことより、入力のパワースペクトル特性と α の値を決めれば、これに応じた最適信頼性レベルを設定することが可能であろう。

3.2 吊橋タワー-ピラー系における計算例

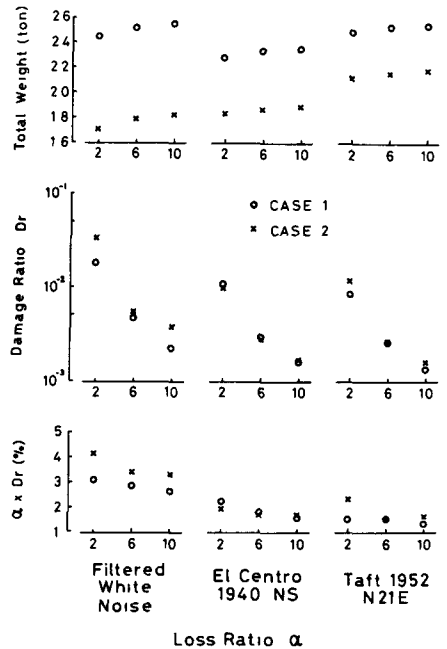


図-6 1スパン1層ラウメンの計算結果

図-7に示す吊橋タワー-ピア一系に対し、図-3に示すフィルタードホワイトノイズを入力して計算を行った。計算に際して、設計変数としてタワーの断面2次元モーメントとピアの橋軸方向幅を採り、タワーの重量とピアのタワーへの換算重量の和を建設費と考えた。破壊モードとして、タワー各点の線応力とピア頂変位をとり、 γ_a 、 γ_g の値として次のようにケース1とケース2の両者を考えた。ケース1の場合、鋼材としてSM58を用いるものとし、 $\sigma_a = 26000 \text{ ton/m}^2$ 、 $\sigma_g = 46000 \text{ ton/m}^2$ 、 λ_a としては本回四田の設計案より $\lambda_a = 0.042 \text{ m}$ 、 λ_g は $\sigma_g/\sigma_a \approx 1.8$ と考えて $\lambda_g = 0.0756 \text{ m}$ を用いた。タワー-ピア一系ではピア頂変位の影響が大きいことが過去の最適設計の結果から明かになり、ケース2として

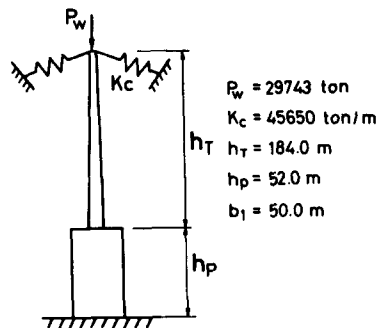


図-7 計算に用いたタワー-ピア一系

鋼材はそのまま、 $\lambda_a = 0.08 \text{ m}$ 、 $\lambda_g = 0.15 \text{ m}$ として計算を行った。またこの例では、タワー-座底とピア-転倒を確率的な制約として追加した。以上のような条件下で最適化を行った結果を図-8、9に示す。図-8は地盤の弾性定数 $E_s = 10 \times 10^4 \text{ ton/m}^2$ の場合であり、図-9は $E_s = 30 \times 10^4 \text{ ton/m}^2$ の場合である。両図より、限界値の大小、地盤の弾性定数の大小、損失率の大小により目的関数は大きく異なるが、 $\alpha \times Dr$ の値はほぼ10%程度であり、この例の場合もこの値に依じた最適な Dr 、すなわち信頼性レベルを設定することが可能である。

しかし最適化の過程を詳しく検討すると、断面寸法の変化に伴って、 Dr が大きく変化しており、破壊率は設計変数に対してかなり敏感な指標であることがわかる。当然のことながら特に最適解付近ではその傾向は大きく、 $\alpha \times Dr$ の値がばらばらであるのはこのことが大きく影響していると考えられ、設計変数に対しても、敏感な指標を用いた方がいいのではないかと考えられる。

4. あとがき

本研究は耐震設計に最適化の手法を適用し、構造物の初期建設費と破壊による損失の和を最小にするように最適設計を行った。その結果から耐震設計における最適な信頼性レベルに関する考察を加えたものがある。その結果、構造物の種類、入力スバクトルの同波数特性により、その値は異なるが、それらも損失率 α も規定すれば、それらに依じた最適な破壊率、すなわち信頼性の設定が可能であると考える。しかし本手法により最適な信頼性レベルを求める場合、破壊率は特に最適解付近で設計変数に対して敏感であり、この点での改善が必要である。今後、各種構造物、各種スバクトルに対し、より詳細な計算を行なうつもりである。

5. 参考文献

- 1) 山田、古川、福原：破壊による損失を考慮した最適耐震設計に関する研究、昭和54年度関西支部講演会
- 2) 山田、古川：最適化手法を用いた長大吊橋タワー-ピア一系の耐震設計、土木学会論文報告集、才251号
- 3) 日本鋼構造協会技術委員会：SUMTによる構造の最適設計について、JSSC, Vol. 17, No. 66, 1971年
- 4) 本州四国連絡橋公団：本州四国連絡橋下部構造設計示方書(案)、昭和47年12月

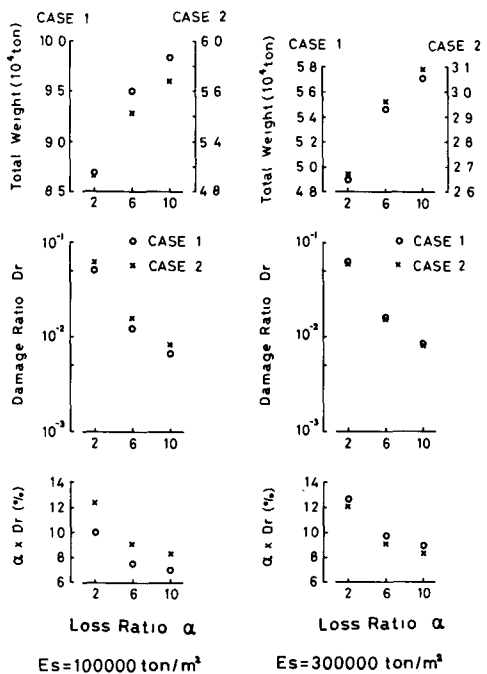


図-8 タワー-ピア一系での計算結果($E_s = 10 \times 10^4 \text{ ton/m}^2$)

図-9 タワー-ピア一系での計算結果($E_s = 30 \times 10^4 \text{ ton/m}^2$)